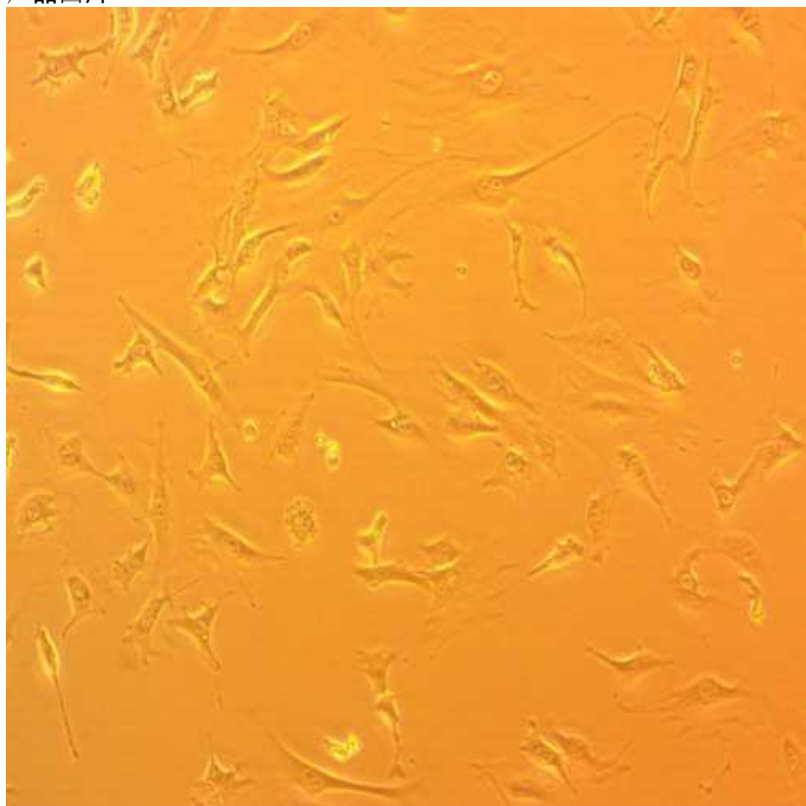


# 3T3-J2细胞系

[下载为PDF](#)

- 19 次围观

产品图片



产品英文名称

[3T3-J2 Cell Line](#)

产品别名

[Kerafast独特的生物试剂](#)

货号/SKU

EF3003

货号/规格

1 vial

库存与交货期

1-2周

人民币价格

10915

人民币价格说明

本商品人民币2024年销售价格正在调整中, 请等待更新完毕。

本商品的展示的人民币价格已包含商品本身金额、VAT增值税13%、国际运输运费、国内物流运费、运输保险、以及冷链包装材料（例如液氮罐、泡沫箱、金属桶、蓝冰、湿冰、干冰、蓄冷剂、液氮等）、装卸费、相关资料费、人力支出等一切费用。

本商品的美元价、市场价、零售价、厂商指导价或该商品的曾经展示过的销售价等，并非商品原价，仅供参考。

试剂海关审批

使用人负责A/B风险申请资质

国外采购

支持/部分需签MTA

厂牌

Kerafast, Inc.

品牌

[Kerafast®](#)

产品基础信息

From the laboratory of Howard Green, MD, Harvard University.

产品描述信息

Product Type:

Cell Line

Name:	3T3-J2
Cell Type:	Embryonic mouse fibroblasts
Accession ID:	CVCL_W667
Organism:	Mouse
Source:	12-13 days mouse embryos
Morphology:	Fibroblastic
Biosafety Level:	BSL1
Subculturing:	Subculture the cells once they reach 60-80% confluence. Split the cells at a density of between 3.5-5 x 10 <sup>3</sup> cells/cm <sup>2</sup> . Feed every 2 to 3 days with complete medium.
Growth Conditions:	Cells grow in 10% CO <sub>2</sub> at 37C in a humidified incubator. Media: DMEM supplemented with pen/strep , 2mM glutamine and 10% bovine calf serum. DO NOT use fetal bovine serum. Growth in fetal bovine serum affects the growth potential of these cells. Bovine calf serum should be iron supplemented and NOT gamma irradiated or heat inactivated (Recommended serum: GE Healthcare Iron-Supplemented BVN CLF 500ml; Cat.SH30072.03).
Cryopreservation:	DMEM with 10% bovine calf serum containing 10% sterile DMSO
Mycoplasma Tested:	Yes
Storage:	Liquid nitrogen
Shipped:	Dry ice

#### 产品安全信息

Rheinwald JG, Green H. Serial cultivation of strains of human epidermal keratinocytes: the formation of keratinizing colonies from single cells. *Cell*. 1975 Nov;6(3):331-43. Allen-Hoffmann BL, Rheinwald JG. Polycyclic aromatic hydrocarbon mutagenesis of human epidermal keratinocytes in culture. *Proc Natl Acad Sci U S A*. 1984 Dec;81(24):7802-6. Siltanen C, Diakatou M, Lowen J, Haque A, Rahimian A, Stybayeva G, Revzin A. One step fabrication of hydrogel microcapsules with hollow core for assembly and cultivation of hepatocyte spheroids. *Acta Biomater*. 2017 Mar 1;50:428-436. View ArticleSette G, Salvati V, Giordani I, Pilozzi E, Quacquarini D, Duranti E, De Nicola F, Pallocca M, Fanciulli M, Falchi M, Pallini R, De Maria R, Eramo A. Conditionally reprogrammed cells (CRC) methodology does not allow the in vitro expansion of patient-derived primary and metastatic lung cancer cells. *Int J Cancer*. 2018 Jul 1;143(1):88-99. View ArticleYoshida T, Kates M, Sopko NA, Liu X, Singh AK, Bishai WR, Joice G, McConkey DJ, Bivalacqua TJ. Ex vivo culture of tumor cells from N-methyl-N-nitrosourea-induced bladder cancer in rats: Development of organoids and an immortalized cell line. *Urol Oncol*. 2018 Apr;36(4):160.e23-160.e32. View ArticleDeng H, Mondal S, Sur S, Woodworth CD. Establishment and optimization of epithelial cell cultures from human ectocervix, transformation zone, and endocervix optimization of epithelial cell cultures. *J Cell Physiol*. 2019 Jan 4. View ArticleWerling K, Shaw WR, Itoe MA, Westervelt KA, Marcenac P, Paton DG, Peng D, Singh N, Smidler AL, South A, Deik AA, Mancio-Silva L, Demas AR, March S, Calvo E, Bhatia SN, Clish CB, Catteruccia F. Steroid Hormone Function Controls Non-competitive Plasmodium Development in Anopheles. *Cell*. 2019 Apr 4;177(2):315-325.e14. View ArticleDeng H, Hillpot E, Mondal S, Khurana KK, Woodworth CD. HPV16-Immortalized Cells from Human Transformation Zone and Endocervix are More Dysplastic than Ectocervical Cells in Organotypic Culture. *Sci Rep*. 2018 Oct 18;8(1):15402. View ArticleEgolf, S., Aubert, Y., Doepner, M., Anderson, A., Maldonado-Lopez, A., Pacella, G., Lee, J., Ko, E. K., Zou, J., Lan, Y., Simpson, C. L., Ridky, T., & Capell, B. C. (2019). LSD1 Inhibition Promotes Epithelial Differentiation through Derepression of Fate-Determining Transcription Factors. *Cell reports*, 28(8), 1981-1992.e7. View ArticleMimoto R, Yososawa S, Saijo H, et al. Clinical implications of drug-screening assay for recurrent metastatic hormone receptor-positive, human epidermal receptor 2-negative breast cancer using conditionally reprogrammed cells. *Sci Rep*. 2019;9(1):13405. Published 2019 Sep 16. View articleNieto-Nicolau N, Martínez-Conesa EM, Velasco-García AM, Aloy-Reverté C, Vilarrodon A, Casaroli-Marano RP. Xenofree generation of limbal stem cells for ocular surface advanced cell therapy. *Stem Cell Res Ther*. 2019;10(1):374. Published 2019 Dec 4. View articleZheng J, Yun W, Park J, et al. Long-term expansion of directly reprogrammed keratinocyte-like cells and in vitro reconstitution of human skin. *J Biomed Sci*. 2020;27(1):56. Published 2020 Apr 20. View articleUrbaniak A, Jousheghany F, Yuan Y, Piña-Oviedo S, Huczyński A, Delgado M, Kieber-Emmons T, Monzavi-Karbassi B, Chambers TC. The response of phyllodes tumor of the breast to anticancer therapy: An in vitro and ex vivo study. *Oncol Lett*. 2019 Nov;18(5):5097-5106. View articleThong T, Wang Y, Brooks MD, Lee CT, Scott C, Balzano L, Wicha MS, Colacino JA. Hybrid Stem Cell States: Insights Into the Relationship Between Mammary Development and Breast Cancer Using Single-Cell Transcriptomics. *Front Cell Dev Biol*. 2020 May 8;8:288. View articleJoynt AT, Evans TA, Pellicore MJ, Davis-Marcisak EF, Aksit MA, Eastman AC, Patel SU, Paul KC, Osorio DL, Bowling AD, Cotton CU, Raraigh KS, West NE, Merlo CA, Cutting GR, Sharma N. Evaluation of both exonic and intronic variants for effects on RNA splicing allows for accurate assessment of the effectiveness of precision therapies. *PLoS Genet*. 2020 Oct 21;16(10):e1009100. View articleOulès B, Philippeos C, Segal J, Tihy M, Vietri Rudan M, Cujba

AM, Grange PA, Quist S, Natsuga K, Deschamps L, Dupin N, Donati G, Watt FM. Contribution of GATA6 to homeostasis of the human upper pilosebaceous unit and acne pathogenesis. Nat Commun. 2020 Oct 20;11(1):5067. View articleGao B, Sakaguchi K, Matsuura K, Ogawa T, Kagawa Y, Kubo H, Shimizu T. In Vitro Production of Human Ballooned Hepatocytes in a Cell Sheet-based Three-dimensional Model. Tissue Eng Part A. 2020 Jan;26(1-2):93-101. View articleRao W, Niroula S, Wang S, Vincent M, McKeon F, Xian W. Protocol for Cloning Epithelial Stem Cell Variants from Human Lung. STAR Protoc. 2020 Sep 18;1(2):100063. View articleCollin J, Queen R, Zerti D, Bojic S, Dorgau B, Moyse N, Molina MM, Yang C, Dey S, Reynolds G, Hussain R, Coxhead JM, Lisgo S, Henderson D, Joseph A, Rooney P, Ghosh S, Clarke L, Connon C, Haniffa M, Figueiredo F, Armstrong L, Lako M. A single cell atlas of human cornea that defines its development, limbal progenitor cells and their interactions with the immune cells. Ocul Surf. 2021 Apr 15:S1542-0124(21)00021-5. View articleIf you publish research with this product, please let us know so we can cite your paper.

#### 主要内容

3T3-J2是原始小鼠胚胎成纤维细胞线的子字形; 3T3-Swiss Albino。在照射后, 这些细胞通常用作人角蛋白细胞生长的饲养层。角质形成细胞干细胞位于表皮的基底层, 这是分层上皮层的最低层。这些细胞分裂以产生瞬时放大细胞, 其进一步分开, 并在表皮中向上移动。差分细胞产生了对皮肤的最外层的完整性至关重要的化合物和其他蛋白质。角质层中的角质形成细胞是不再乘以的死鳞状细胞。一旦角蛋白细胞到达了角质, 据说它们是角质棉的, 或者煽动, 产生坚韧的皮肤外层。从哈佛大学霍华德绿色的实验室, 哈马德格林实验室。

#### 厂牌介绍

### 关于Kerafast Inc.

Kerafast 是一家位于波士顿的试剂公司, 其主要使命是为QuanQiu科学界提供易于使用的独特实验室研究工具。我们的产品组合包括细胞系、抗体、小分子、染料等, 其中许多在其他地方无法获得。自 2011 年成立以来, 来自[全球 190 多个机构](#)的研究人员通过我们的在线平台提供了他们的创新试剂, 无需通过传统的材料转让协议流程即可快速获取材料。

我们处理提供实验室的所有销售和运输物流, 并从每次销售中返还丰厚的特许权使用费。因此, 我们帮助提供实验室节省时间和资源, 同时为进一步研究提供额外资金。采购科学家可以更轻松地发现和获取其他地方通常无法获得的独特试剂, 同时还可以资助其他研究人员的工作。这创建了一个QuanQiu科学家社区, 他们贡献和获取Reagent for the Greater Good, 以加速他们自己的研究以及整体科学进步。

2018 年, Kerafast 与 [Absolute Antibody](#) 合并, 后者是一家总部位于英国的公司, 其愿景是为所有研究人员提供重组抗体技术。[此次合并](#)将两家公司聚集在一起, 共同致力于改善科学界可用的研究工具的选择。

#### 品牌标识



#### 产品关键词

[kerafast抗体ED2003](#)  
[kerafast 抗体](#)  
[kerafast国内代理商](#)  
[kerafast](#)  
[kerafast 代理](#)  
[kerafast细胞](#)  
[kerafast抗体代理](#)  
[kerafast代理商](#)  
[kerafast品牌](#)  
[kerafast代理](#)  
[kerafast细胞代购kerafast品牌代理](#)  
[kerafast华北代理](#)  
[美国kerafast公司](#)  
[kerafast公司](#)  
[进口kerafast代理](#)  
[kerafast丁香通](#)  
[kerafast中国代理](#)  
[kerafast官网](#)  
[kerafast抗体](#)  
[kerafast专业代理](#)

一键获取大包装优惠报价

- 无 -

选择您的报价场景

- 【我们直接使用】需要优惠报价、大包装规格、货期 -- ---->[报价默认含增值税13%发票; 尽量提供货号、规格、需求数量]  
 【需要技术文档】产品说明书、COA、MSDS、手册 -- ---->[默认提供说明书或者COA, 特别技术指标要求请

下面填入详细描述】

- 【我帮客户找货】需要优惠报价、大包装规格、货期-->[报价默认含增值税13%发票]
- 【推荐替代产品】需要优惠报价、大包装规格、货期-->[提供替代产品的价格，默认含增值税13%发票]
- 【我能原厂直采】请只提供代理进口清关服务的报价-->[适合只需要进口许可证代办服务、清关服务的专业级买家，独立服务]
- 【其它报价场景】

请输入您的情况与报价要求

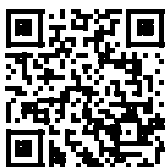
#### 报价要求详细描述

【如有请填写;若无留空即可】按10KG、25L大量采购的时候,是否可:

贵单位贵姓

接受报价的E-mail

## 手机扫描二维码阅读本页



## 可能感兴趣的内容

[NR-18256结核分枝杆菌,CDC1551TransposonMutant1869\(MT2120,Rv2061c\)\(突变细菌\)](#)

2022-04-01

[NR-10450来自炭疽杆菌的基因组DNA,菌株Ames35\(核酸\)](#)

2022-04-01

[NR-47447金黄色葡萄球菌亚种.金黄色葡萄球菌,USA300JE2,转座子突变体SAUSA300\\_0290\(NE904\)\(突变体细菌\)](#)

2022-04-01

[NR-15499牛痘病毒,WesternReserve,重组表达淋巴细胞脉络从脑膜炎病毒,Armstrong53b核蛋白\(病毒\)](#)

2022-04-01

[NR-33293大肠杆菌,菌株43\(105a\)\(细菌\)](#)

2022-04-01

[NR-13478结核分枝杆菌、CDC1551、转座子突变体31\(MT0606、Rv0577\)\(突变细菌\)](#)

2022-04-01

[NR-47414金黄色葡萄球菌亚种.金黄色葡萄球菌,USA300JE2,转座子突变体SAUSA300\\_2636\(NE871\)\(突变体细菌\)](#)

2022-04-01

[NR-52229鲍曼不动杆菌,MRSN32104\(细菌\)](#)

2022-04-01

[\*\*<b>综述与专论:</b>\*\* 核酸适配体在肾癌中的应用](#)

2023-09-21

[PIL家族转录因子抑制植物分蘖机制获解析](#)

2020-08-04

[PBST \(1x, PH7.4\) \(BZ218\) 200ml](#)

2021-12-13

[植物冬季氮吸收能力及利用策略研究取得新进展](#)

2020-08-04

[抗肺炎球菌血清型35B单克隆抗体\[克隆3F9\]22/308](#)

2024-05-19

[NR-51531铜绿假单胞菌,MRSN1899\(细菌\)](#)

2022-04-01

[精选好货》DC184硅橡胶PDMS184光学胶灌封胶PDMS聚二](#)

2021-12-02

[人工模拟合成外分泌汗液汗水-皮脂乳液\(BZ118\) 500ml](#)

2021-12-13

[NR-36061来自雄性和雌性钉螺亚种的基因组DNA.formosana,ChiaYisolate\(NucleicAcids\)](#)

2022-04-01

[NR-15020结核分枝杆菌、CDC1551、转座子突变体1173\(MT2316、Rv\\*\)\(突变细菌\)](#)

2022-04-01

[MRA-564\\_恶性疟原虫,菌株D10pfmdr1SNY\[D10pfmdr1S-1034N-1042Y-1246,D10-mdr1\(7G8/1\)\]\(寄生原生动物\)](#)

2022-04-01

[NR-28543\\_副溶血性弧菌,F11-3A\(血清型O4:K12\)\(细菌\)](#)

2022-04-01